

# 课程信息

- 第五次作业:

1. 阅读黄昆《固体物理》第四章4-5至4-8小节、第五章5-1至5-5小结，并解释以下重要概念：能态密度、费米面、满带、空带、导带、价带、禁带、准经典运动、有效质量；
2. 推导三维、二维、一维下自由电子气的能态密度与能量关系式；
3. 画出金属、半导体、绝缘体的能带简图；
4. 书后习题4.7， 5.1

## 2. 费米面

—— 固体中有N个自由电子，按照泡利原理它们基态是由N个电子由低到高填充的N个量子态

电子的能级  $E(\vec{k}) = \frac{\hbar^2 k^2}{2m}$

N个电子在k空间填充一个半径为 $k_F$ 的球，球内包含N个状态数

$$N = 2 \times \frac{V}{(2\pi)^3} \frac{4}{3} \pi k_F^3$$

球的半径  $k_F = 2\pi \left(\frac{3}{8\pi}\right)^{1/3} \left(\frac{N}{V}\right)^{1/3} \quad k_F = 2\pi \left(\frac{3n}{8\pi}\right)^{1/3}$

☒ 费米波矢、费米动量、费米速度和费米温度

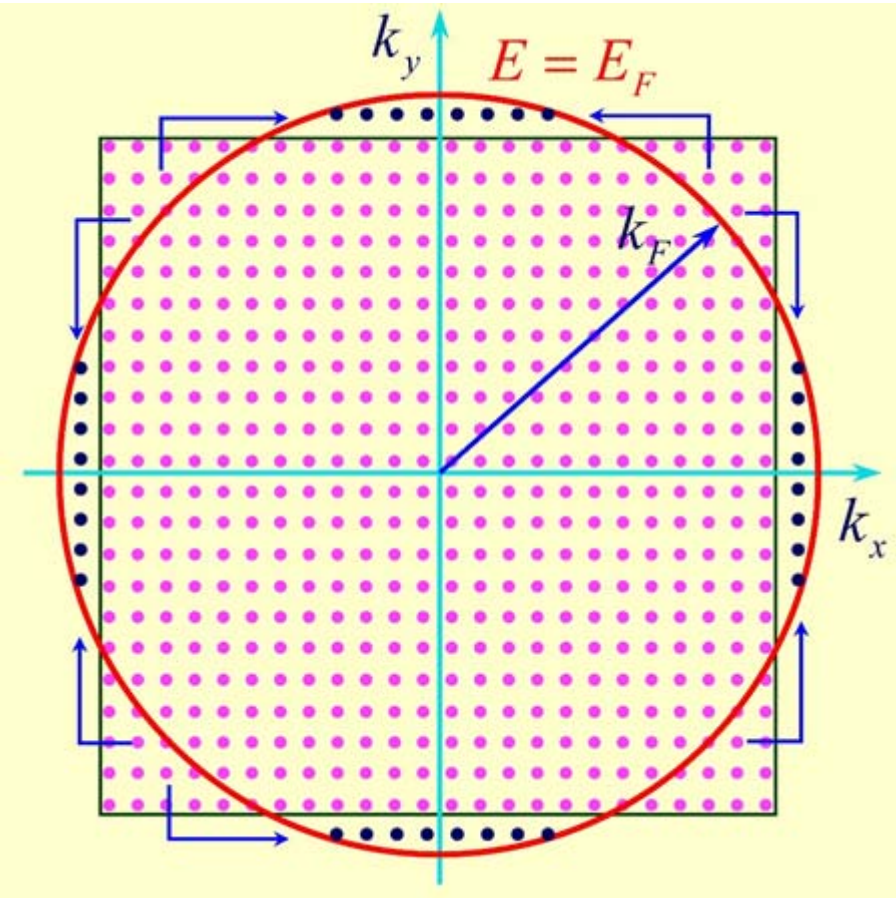
$$\text{费米球半径 } k_F = \frac{\sqrt{2mE_F}}{\hbar}$$

$$\text{费米能量 } E_F = \frac{\hbar^2 k_F^2}{2m}$$

$$\text{费米动量 } p_F = \sqrt{2mE_F}$$

$$\vec{p}_F = \hbar \vec{k}_F$$

$$\text{费米速度 } \vec{v}_F = \frac{\vec{p}_F}{m}$$



$$\text{费米温度 } T_F = \frac{E_F}{k_B}$$

自由电子球半径 $r_s$   $\frac{V}{N} = \frac{1}{n} = \frac{4}{3}\pi r_s^3$

$$r_s = \left(\frac{3}{4\pi n}\right)^{1/3}$$

$$n = \frac{3}{4\pi r_s^3}$$

$$k_F = 2\pi\left(\frac{3n}{8\pi}\right)^{1/3} = \frac{1.92}{r_s}$$

$$E_F = \frac{\hbar^2 k_F^2}{2m} \quad E_F = \frac{51.1 \text{ eV}}{(r_s / a_0)^2}$$

$$a_0 = 0.529 \times 10^{-10} \text{ m}$$

$$n \sim 10^{23} / \text{cm}^3$$

$$r_s / a_0 = 2 \sim 6$$

$$v_F = \frac{p_F}{m} = \frac{4.20}{r_s / a_0} \times 10^6 \text{ m / s}$$

$$E_F : 1.5 \text{ eV} \sim 15 \text{ eV}$$

## —— 晶体中的电子

满带 —— 电子占据了一个能带中所有的状态

空带 —— 没有任何电子占据（填充）的能带

导带 —— 一个能带中所有的状态没有被电子占满  
即不满带，或说最下面的一个空带

价带 —— 导带以下的第一个满带，或最上面的一个满带

禁带 —— 两个能带之间，不允许存在的能级宽度，或带隙

—— 单电子的能级由于周期性势场的影响而形成一系列的准连续的能带， $N$ 个电子填充这些能带中最低的 $N$ 个状态

## 半导体和绝缘体

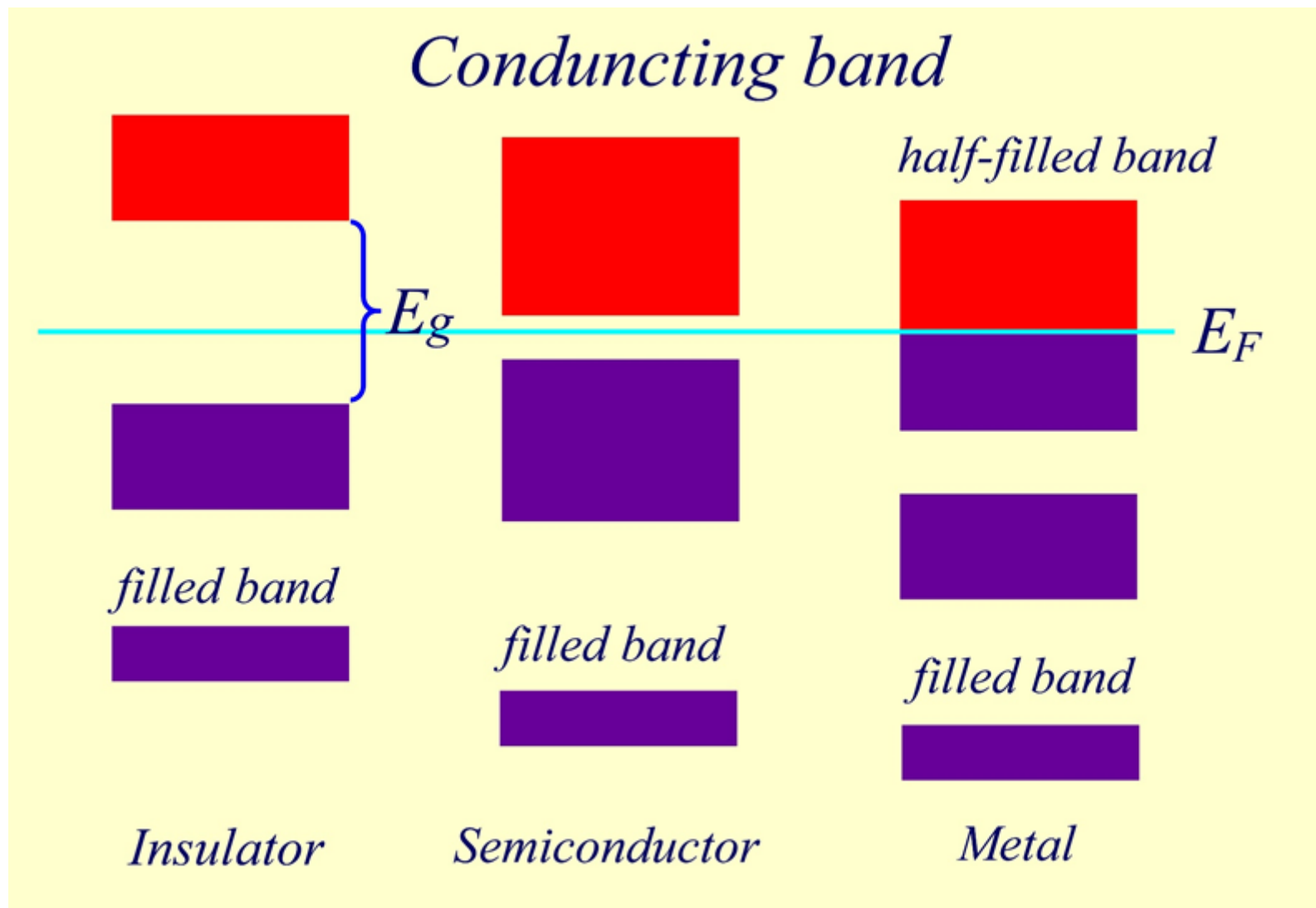
—— 电子刚好填满最低的一系列能带，形成满带，导带中没有电子

—— 半导体带隙宽度较小  $\sim 1 \text{ eV}$

—— 绝缘体带隙宽度较宽  $\sim 10 \text{ eV}$

## 金属

- 电子除了填满一系列的能带形成满带，还部分填充了其它能带形成导带
- 电子填充的最高能级为费米能级，位于一个或几个能带范围内
- 在不同能带中形成一个占有电子与不占有电子区域的分界面
- 面的集合称为费米面





**碱金属** —— 具有体心立方格子，每个原胞内有一个原子，由 $N$ 个原子构成的晶体，各满层电子的能级相应地分成 $2N$ 个量子态的能带，内层电子刚好填满了相应的能带

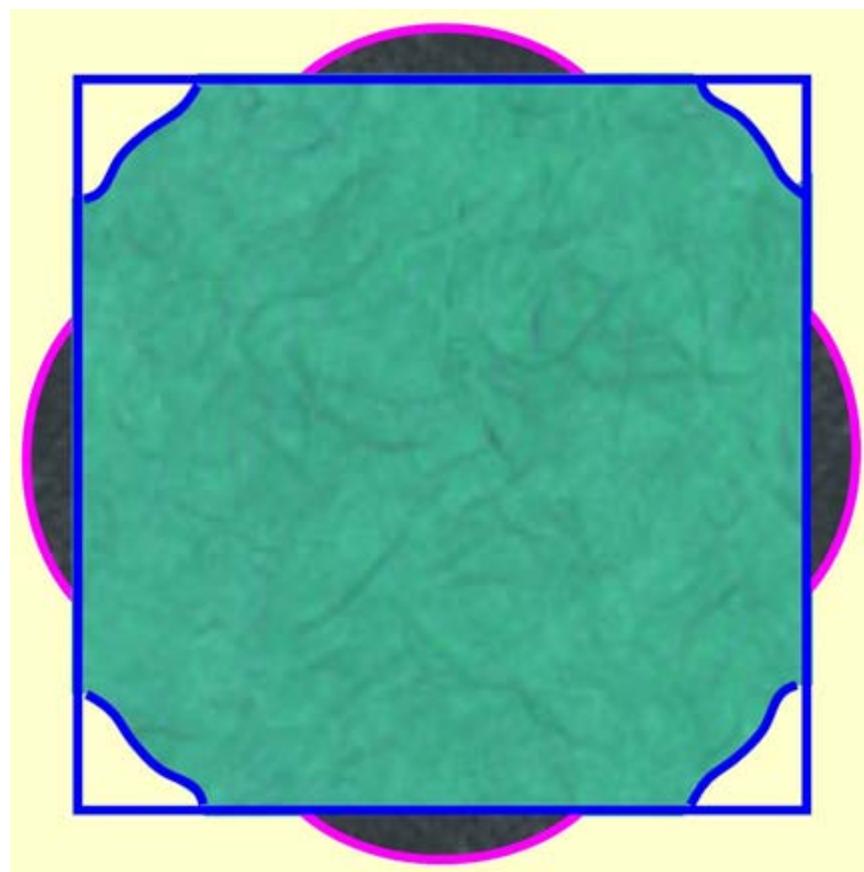
### **$n=2$ 的能级**

- 原子的量子态数为8，电子填充数为8个
- 形成晶体后相应的能带 $2s$ （1个）、 $2p$ （3个），共4个能带，每个能带所容许的量子态 $2N$ ，共有 $8N$ 个量子态，可以填充 $8N$ 个电子
- $ns$ 态所对应的能带可以填充 $2N$ 电子， $N$ 个原子只有 $N$ 个自由电子，只填充了半个能带而形成**导带**
- 碱金属中的 $N$ 个电子只填充了半个布里渊区，费米球与布里渊区边界不相交，费米面接近球面

**二价碱土金属** —— 最外层2个s态电子，似乎刚好填满和s相应的能带。由于与s对应的能带和上面的能带发生重叠， $2N$ 个尚未填满s态能带，就开始填充上面的能带，形成两个能带都是部分填充

—— 碱土金属为金属导体

—— 第一布里渊区中的状态尚未填满，第二布里渊区已填充电子，此时的费米面由两部分构成

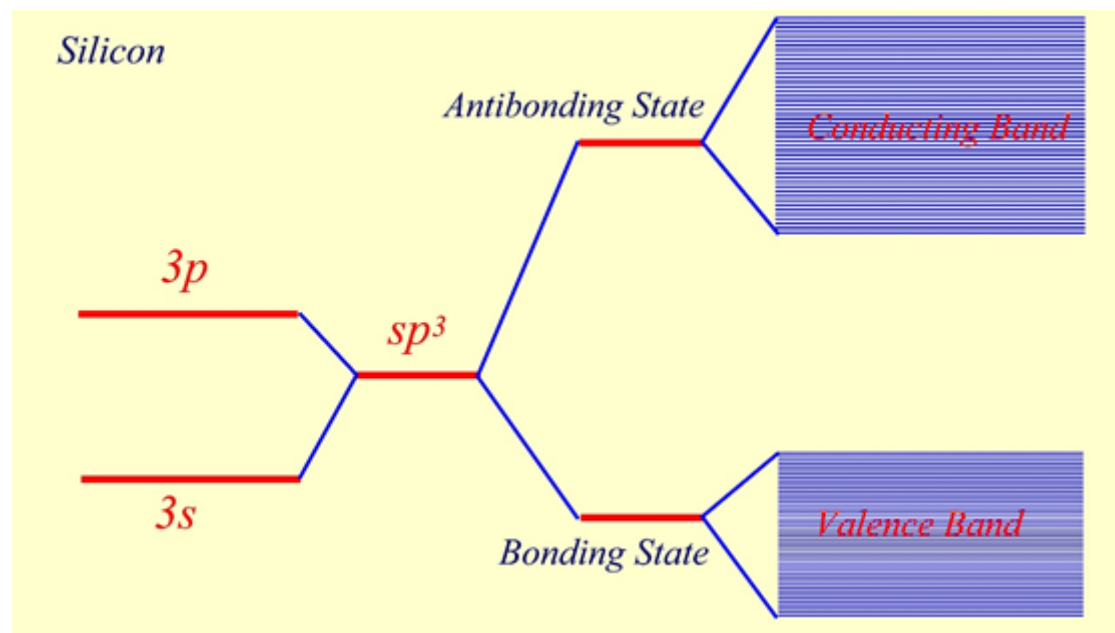


## 金刚石结构的IVA族元素C、Si和Ge电子的填充

—— IVA族原子外层有4个电子，形成晶体后成键态对应4个能带在下面，反键态对应4个能带在上面。每个能带可容纳 $2N$ 个电子，成键态的4个能带刚好可以容纳 $8N$ 电子

—— 金刚石结构晶体中每个原胞有两个原子，共 $8N$ 个电子。晶体中的 $8N$ 个电子全部填充在成键态的4个能带中形成满带，反键态则是空带，金刚石为绝缘体

—— Si和Ge为半导体

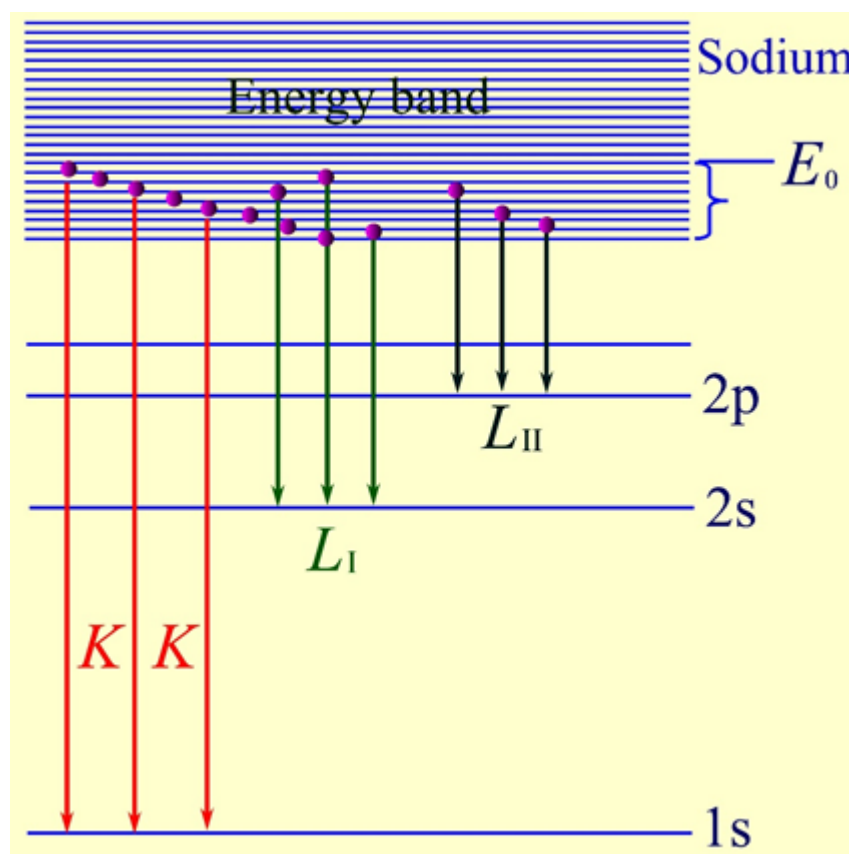


## —— 能态密度的实验结果

**X**射线可以将原子内层电子激发，产生空的内层能级，当外层电子(导带中的电子)跃迁填充内层能级时发射**X**射线光子

用**X**射线将**Na**原子的内层电子激发产生诸如**1s**、**2s**和**3p**等空的内层能级

- **K**: 电子到**1s**能级的跃迁
- **L<sub>I</sub>**: 电子到**2s**能级的跃迁
- **L<sub>II</sub>**: 电子到**2p**能级的跃迁
- **L<sub>III</sub>**: 电子到**3s**能级的跃迁

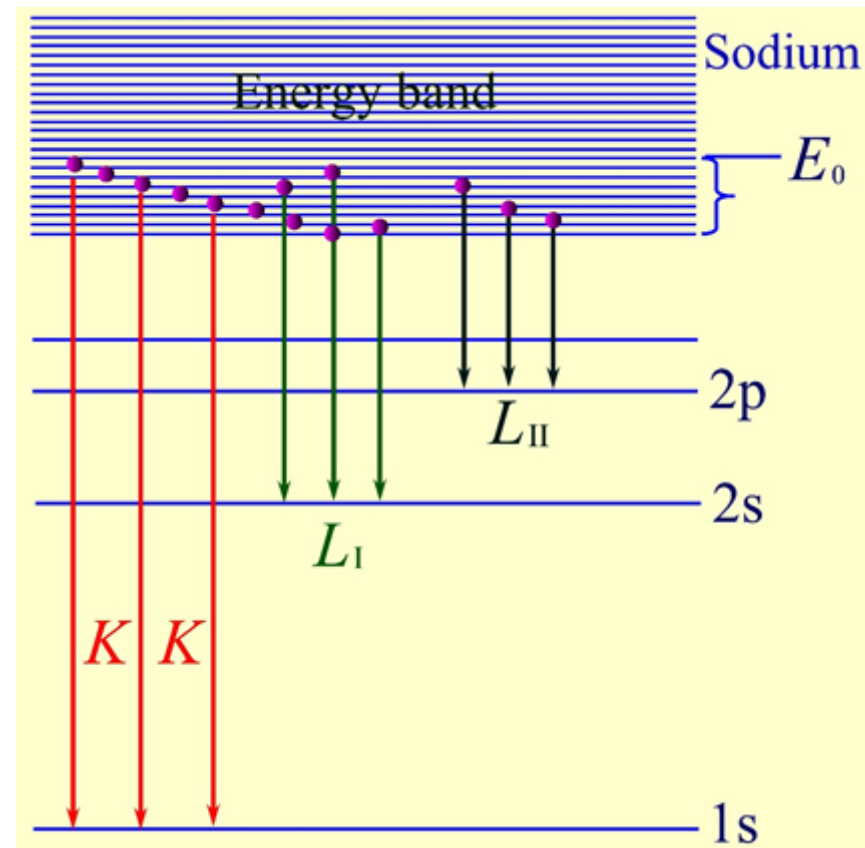


- 导带中电子能量从带底能量到最高能量 $E_0$ ，各种能量的电子均可发生跃迁产生不同能量的X光子
- 发射出X光子能量形成一个连续能量谱
- 发射的X光子能量可以通过实验测得

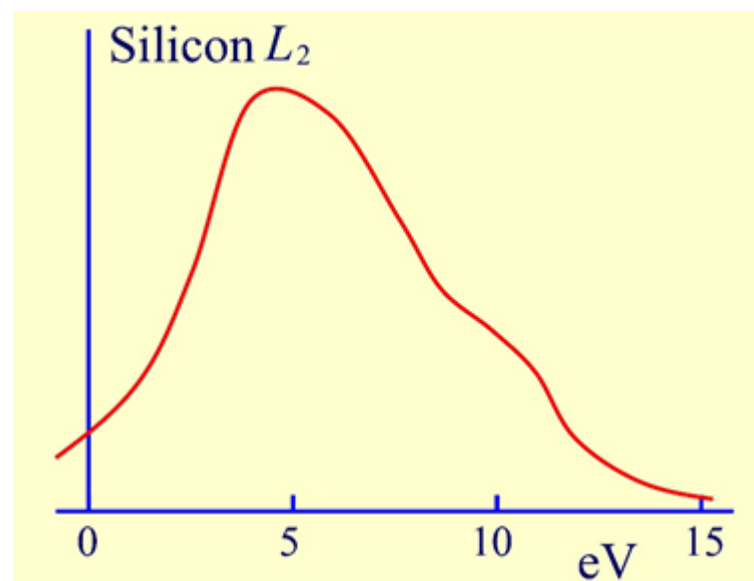
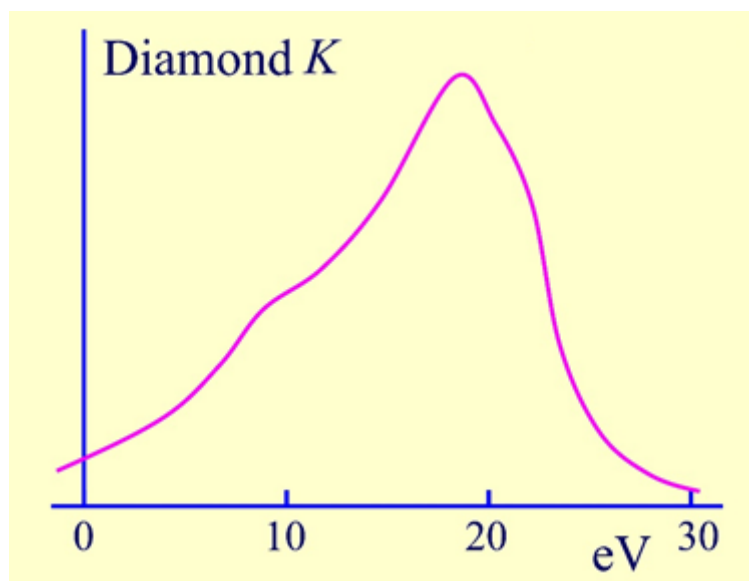
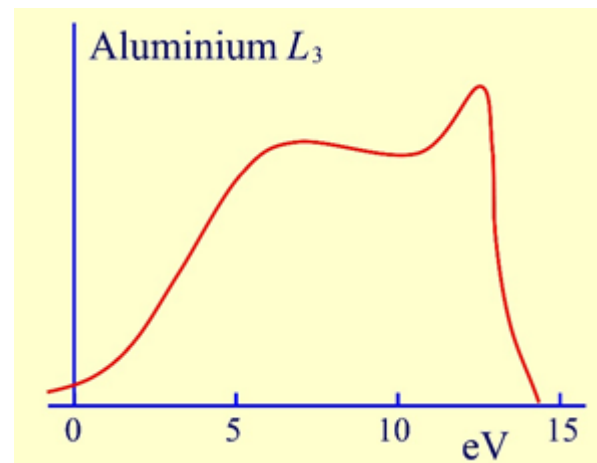
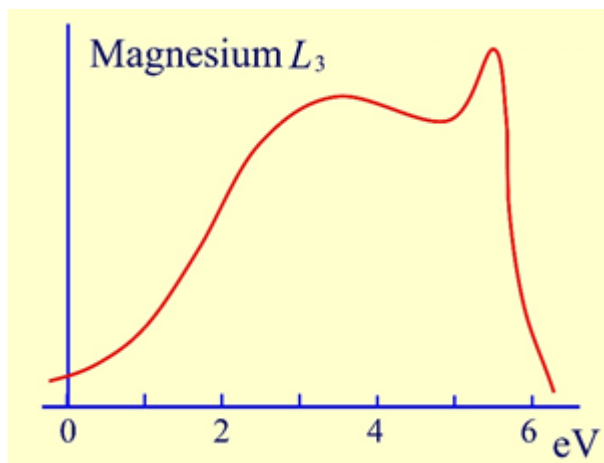
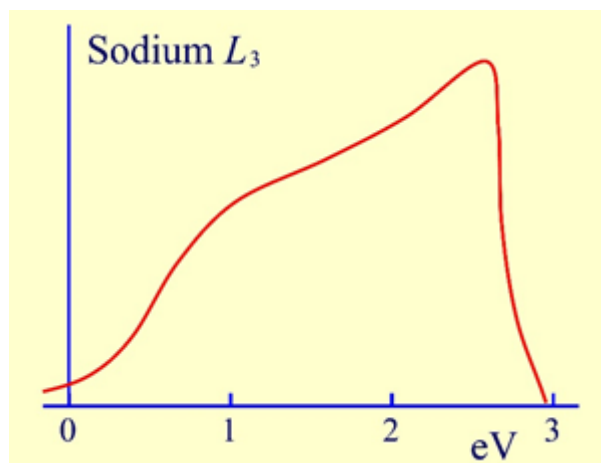
X光子发射强度决定于

(能态密度)  $\times$  (发射几率)

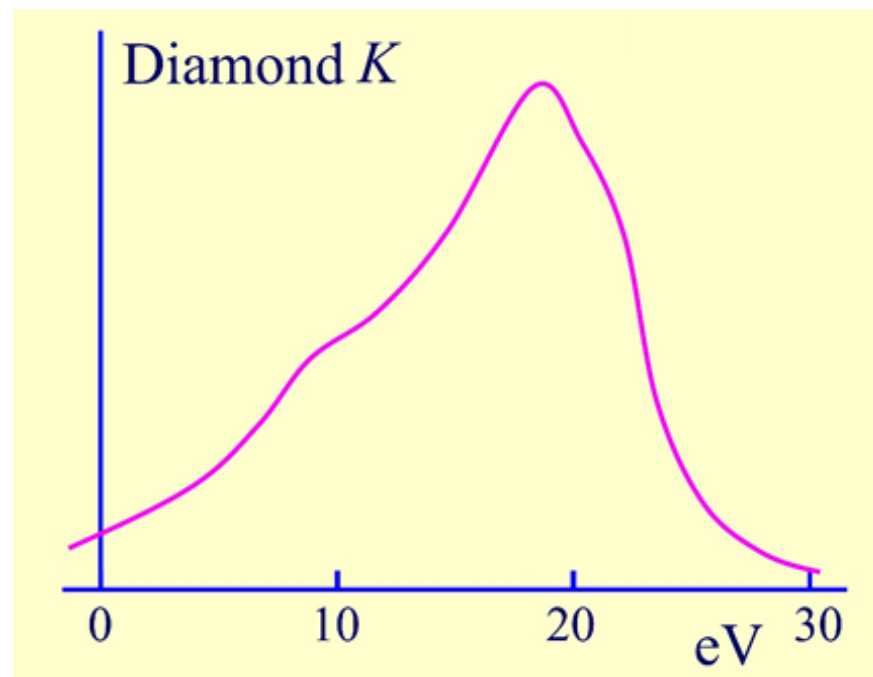
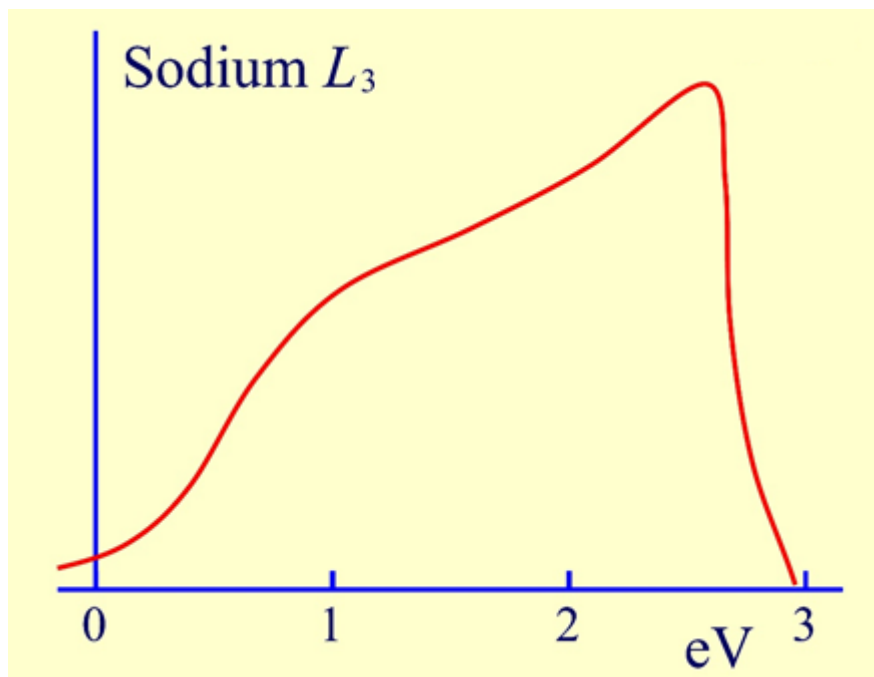
- 根据不同固体的X光子发射谱可以获知能态密度的信息



## 金属Na、Mg、Al和非金属金刚石、硅的实验结果



—— 在低能量区域

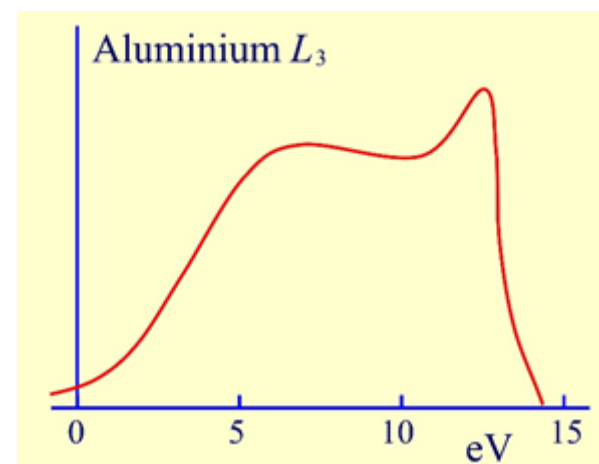
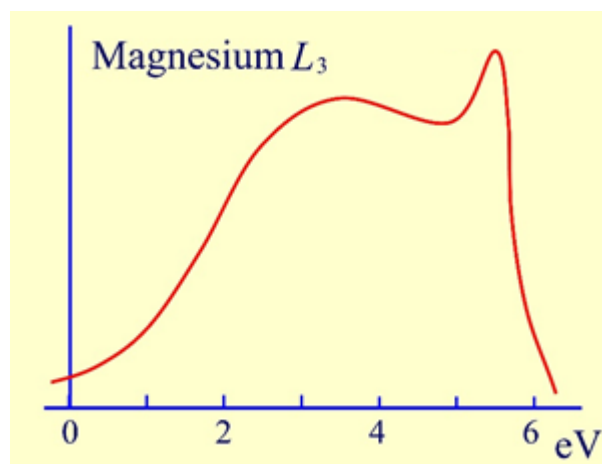
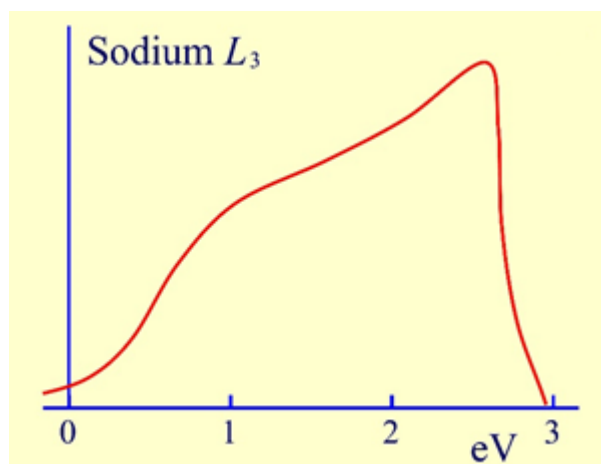


**Na、Mg、Al**和金刚石、硅的X光子发射能量逐渐上升的  
—— 反映了电子的能量从带底逐渐增大，其能态密度逐渐增大的规律

—— 在高能量的一端

金属Na、Mg、Al的X光子发射谱陡然下降

—— 反映了导带未被电子填满，最高能量的电子对应的能态密度最大

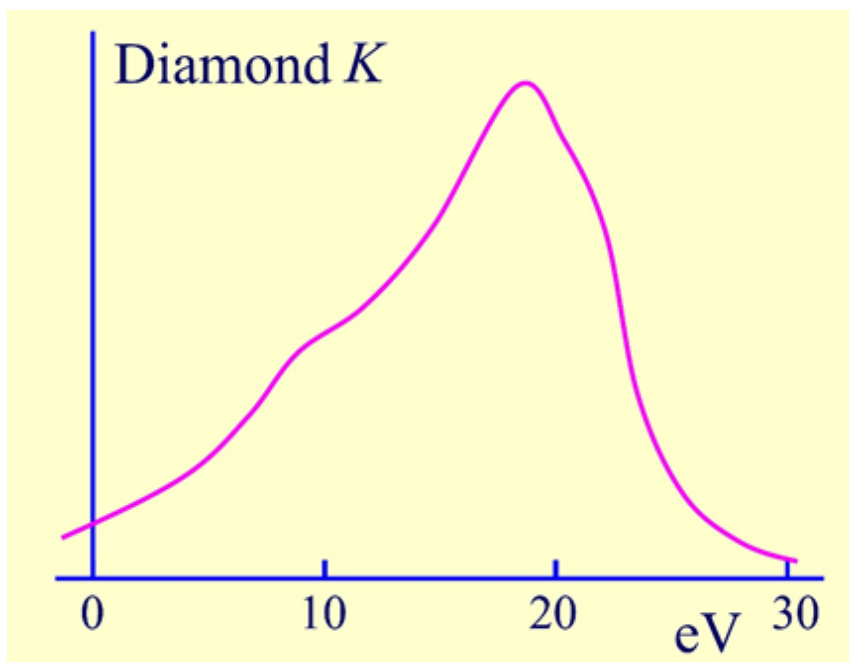
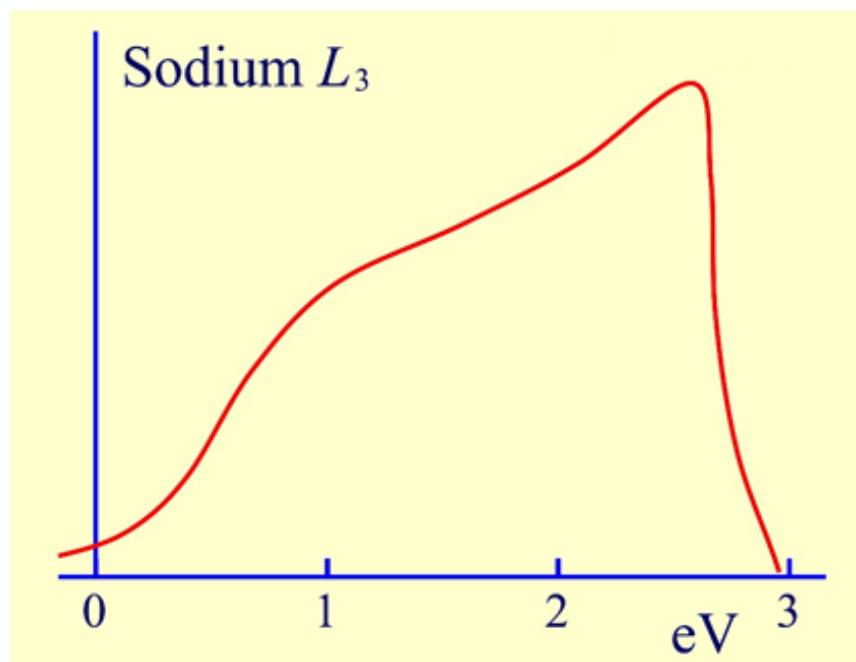




—— 在高能量的一端

金刚石、硅的X光子发射谱逐渐下降

—— 反映了电子填充了导带中所有的状态，即满带。而在满带顶对应的布里渊区附近，电子的能态密度逐渐降为零



# 第五章 晶体中电子在电场和磁场中的运动

## 问题的提出

晶体中的电子在外加场的作用下—— 电场、磁场、掺入杂质势场等，如何描述电子的运动？

—— 外场与晶体的势场相比弱许多，可用电子在晶体周期性势场中的本征态为基础进行讨论

方法一 —— 求解在外加势场  $U$  时电子的薛定谔方程

$$\left[-\frac{\hbar^2}{2m}\nabla^2 + V(\vec{r}) + U\right]\psi = E\psi$$

方法二 —— 满足一定条件下将电子的运动近似当作经典粒子的运动来处理

—— 讨论均匀电磁场中晶体中电磁输运问题

## § 5.1 准经典运动

### 1. 波包和电子速度

—— 量子力学中，对任意有经典类比的力学系统，如果对一个态的经典描述近似成立，用一个波包来描述这个态

—— 粒子的坐标和动量满足量子力学测不准关系

### 粒子的波包构成

粒子在空间分布在  $\vec{r}_0$  附近的  $\Delta\vec{r}$  范围内，动量取值为  $\hbar\vec{k}_0$  附近的  $\hbar\Delta\vec{k}$  范围内

波包中心  $\vec{r}_0$  — 粒子中心，中心的动量  $\hbar\vec{k}_0$  — 粒子的动量

## 波包的波函数

晶体中的波包由布洛赫波组成

$$\psi_{\vec{k}'}(\vec{r}, t) = e^{i[\vec{k}' \cdot \vec{r} - \frac{E(\vec{k}')}{\hbar} t]} u_{\vec{k}'}(\vec{r})$$

以量子态  $\vec{k}_0$  为中心的波包

$$\text{令 } \vec{k}' = \vec{k}_0 + \vec{k} \quad \vec{k} \text{—— 很小}$$

势场周期性函数近似表示  $u_{\vec{k}'}(\vec{r}) \approx u_{\vec{k}_0}(\vec{r})$

将能量  $E(\vec{k}')$  按泰勒级数展开

$$E(\vec{k}') \cong E(\vec{k}_0) + \vec{k} \cdot (\nabla_{\vec{k}} E)_{\vec{k}_0}$$

$$E(\vec{k}') \cong E(\vec{k}_0) + \vec{k} \cdot (\nabla_k E)_{k_0}$$

$\vec{k}$  的取值范围  $-\frac{\Delta}{2} \leq \begin{Bmatrix} k_x \\ k_y \\ k_z \end{Bmatrix} \leq \frac{\Delta}{2}$   $\Delta$  —— 小量  
 —— 波包函数

$$\psi(\vec{r}, t) = \int_{-\Delta/2}^{\Delta/2} dk_x \int_{-\Delta/2}^{\Delta/2} dk_y \int_{-\Delta/2}^{\Delta/2} dk_z e^{i[(\vec{k}_0 + \vec{k}) \cdot \vec{r} - \frac{E(\vec{k}_0 + \vec{k})}{\hbar} t]} u_{\vec{k}_0 + \vec{k}}(\vec{r})$$

$$\psi(\vec{r}, t) \cong u_{\vec{k}_0}(\vec{r}) e^{i[\vec{k}_0 \cdot \vec{r} - \frac{E(\vec{k}_0)}{\hbar} t]} \int_{-\Delta/2}^{\Delta/2} dk_x \int_{-\Delta/2}^{\Delta/2} dk_y \int_{-\Delta/2}^{\Delta/2} dk_z e^{i\vec{k} \cdot [\vec{r} - \frac{(\nabla_k E)_{k_0}}{\hbar} t]}$$

—— 电子的概率密度分布函数

$$|\psi(\vec{r}, t)|^2 = |u_{\vec{k}_0}(\vec{r})|^2 \left| \int_{-\Delta/2}^{\Delta/2} dk_x \int_{-\Delta/2}^{\Delta/2} dk_y \int_{-\Delta/2}^{\Delta/2} dk_z e^{i\vec{k} \cdot [\vec{r} - \frac{(\nabla_k E)_{k_0}}{\hbar} t]} \right|^2$$

$$i\vec{k} \cdot [\vec{r} - \frac{(\nabla_k E)_{k_0}}{\hbar} t] = i[k_x (x - \frac{1}{\hbar} (\frac{\partial E}{\partial k_x})_{k_0} t)]$$

$$+ i[k_y (y - \frac{1}{\hbar} (\frac{\partial E}{\partial k_y})_{k_0} t)] + i[k_z (z - \frac{1}{\hbar} (\frac{\partial E}{\partial k_z})_{k_0} t)]$$

$$u = x - \frac{1}{\hbar} (\frac{\partial E}{\partial k_x})_{k_0} t, \quad v = y - \frac{1}{\hbar} (\frac{\partial E}{\partial k_y})_{k_0} t, \quad w = z - \frac{1}{\hbar} (\frac{\partial E}{\partial k_z})_{k_0} t$$

$$|\psi(\vec{r}, t)|^2 = \left| u_{\vec{k}_0}(\vec{r}) \right|^2 \left| \int_{-\Delta/2}^{\Delta/2} e^{ik_x u} dk_x \int_{-\Delta/2}^{\Delta/2} e^{ik_y v} dk_y \int_{-\Delta/2}^{\Delta/2} dk_z e^{ik_z w} \right|^2$$

$$|\psi(\vec{r}, t)|^2 = \left| u_{\vec{k}_0}(\vec{r}) \right|^2 \left| \frac{\sin \Delta u / 2}{\Delta u / 2} \right|^2 \left| \frac{\sin \Delta v / 2}{\Delta v / 2} \right|^2 \left| \frac{\sin \Delta w / 2}{\Delta w / 2} \right|^2 \Delta^6$$

其中

$$u = x - \frac{1}{\hbar} \left( \frac{\partial E}{\partial k_x} \right)_{k_0} t, \quad v = y - \frac{1}{\hbar} \left( \frac{\partial E}{\partial k_y} \right)_{k_0} t, \quad w = z - \frac{1}{\hbar} \left( \frac{\partial E}{\partial k_z} \right)_{k_0} t$$

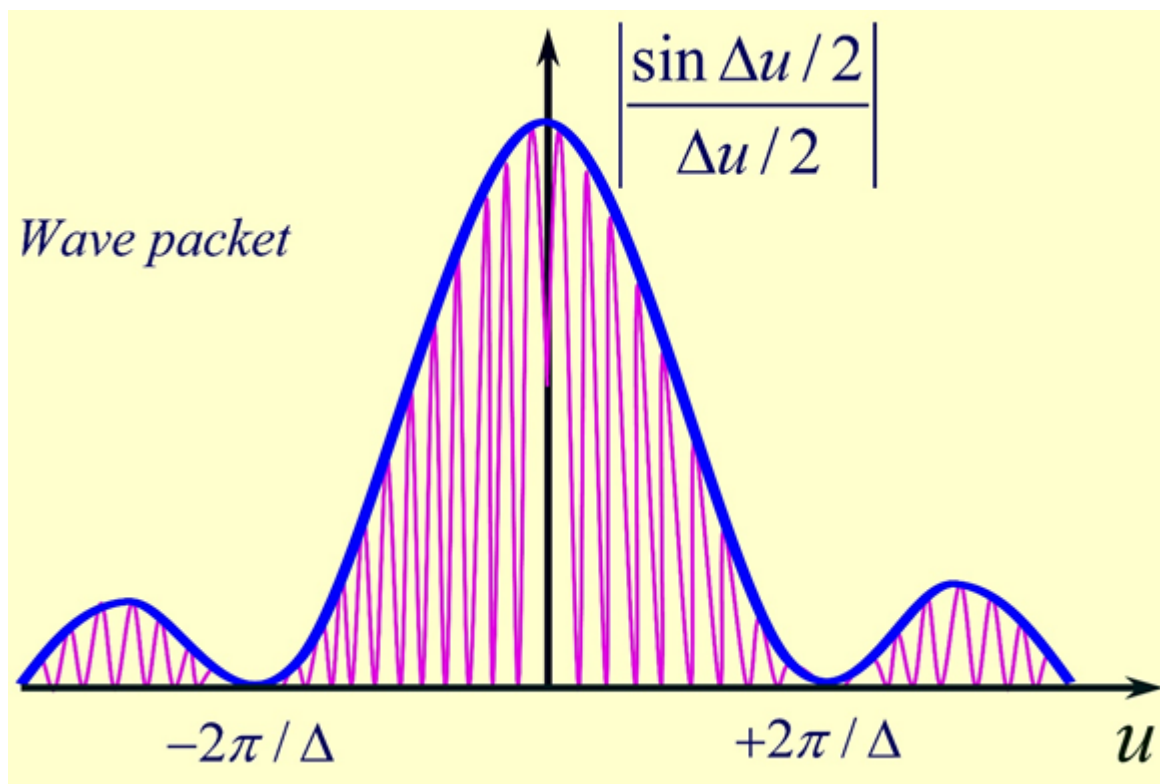


$$|\psi(\vec{r}, t)|^2 = |u_{\vec{k}_0}(\vec{r})|^2 \left| \frac{\sin \Delta u / 2}{\Delta u / 2} \right|^2 \left| \frac{\sin \Delta v / 2}{\Delta v / 2} \right|^2 \left| \frac{\sin \Delta w / 2}{\Delta w / 2} \right|^2 \Delta^6$$

$$\left| \frac{\sin \Delta u / 2}{\Delta u / 2} \right| \sim u \text{ 的曲线}$$

波包的限度

$$u = \frac{2\pi}{\Delta}$$



$$|\psi(\vec{r}, t)|^2 = |u_{\vec{k}_0}(\vec{r})|^2 \left| \frac{\sin \Delta u / 2}{\Delta u / 2} \right|^2 \left| \frac{\sin \Delta v / 2}{\Delta v / 2} \right|^2 \left| \frac{\sin \Delta w / 2}{\Delta w / 2} \right|^2 \Delta^6$$

$$\mathbf{u} = \mathbf{v} = \mathbf{w} = \mathbf{0} \quad |\psi(\vec{r}, t)|^2 = |u_{\vec{k}_0}(\vec{r})|^2 \Delta^6$$

$$\left\{ \begin{array}{l} u = x_0 - \frac{1}{\hbar} \left( \frac{\partial E}{\partial k_x} \right)_{k_0} t \\ v = y_0 - \frac{1}{\hbar} \left( \frac{\partial E}{\partial k_y} \right)_{k_0} t \\ w = z_0 - \frac{1}{\hbar} \left( \frac{\partial E}{\partial k_z} \right)_{k_0} t \end{array} \right. \left\{ \begin{array}{l} x_0 = \frac{1}{\hbar} \left( \frac{\partial E}{\partial k_x} \right)_{k_0} t \\ y_0 = \frac{1}{\hbar} \left( \frac{\partial E}{\partial k_y} \right)_{k_0} t \\ z_0 = \frac{1}{\hbar} \left( \frac{\partial E}{\partial k_z} \right)_{k_0} t \end{array} \right. \quad \begin{array}{l} \text{粒子中心位置} \\ \vec{r}_0 = \frac{1}{\hbar} \cdot (\nabla_k E)_{k_0} t \end{array}$$

粒子的中心  $\vec{r}_0 = \frac{1}{\hbar} \cdot (\nabla_k E)_{k_0} t$

粒子的速度  $\vec{v}_{\vec{k}_0} = \frac{1}{\hbar} (\nabla_k E)_{k_0}$

$$-\frac{\Delta}{2} \leq \begin{Bmatrix} k_x \\ k_y \\ k_z \end{Bmatrix} \leq \frac{\Delta}{2} \quad \mathbf{k} \text{ 很小}$$

第一布里渊区  $(-\frac{\pi}{a}, \frac{\pi}{a})$  要求  $\Delta \ll \frac{2\pi}{a} \quad \frac{2\pi}{\Delta} \gg a$

$u = \frac{2\pi}{\Delta}$  —— 波包的限度  $u \gg a$

—— 波包远远大于原胞, 在这一个限度里才能将电子看做是准经典粒子

## —— 一维紧束缚模型

粒子的速度  $\vec{v}_{\vec{k}_0} = \frac{1}{\hbar} (\nabla_{\vec{k}} E)_{\vec{k}_0}$   $v_k = \frac{1}{\hbar} \frac{dE}{dk}$

$$E(\vec{k}) = \varepsilon_i - J_0 - 2J_1 \cos ka \quad v_k = \frac{2J_1 a}{\hbar} \sin ka$$

$$\frac{dE}{dk} = 0 \quad k = 0, \frac{\pi}{a} \quad v_k = 0 \text{ —— 能带底和能带顶}$$

$$\frac{d^2 E}{dk^2} = 2J_1 a^2 \cos ka = 0 \quad k = \frac{\pi}{2a} \quad v_k = \frac{2J_1 a}{\hbar}$$

—— 速度最大

在一维紧束缚模型下

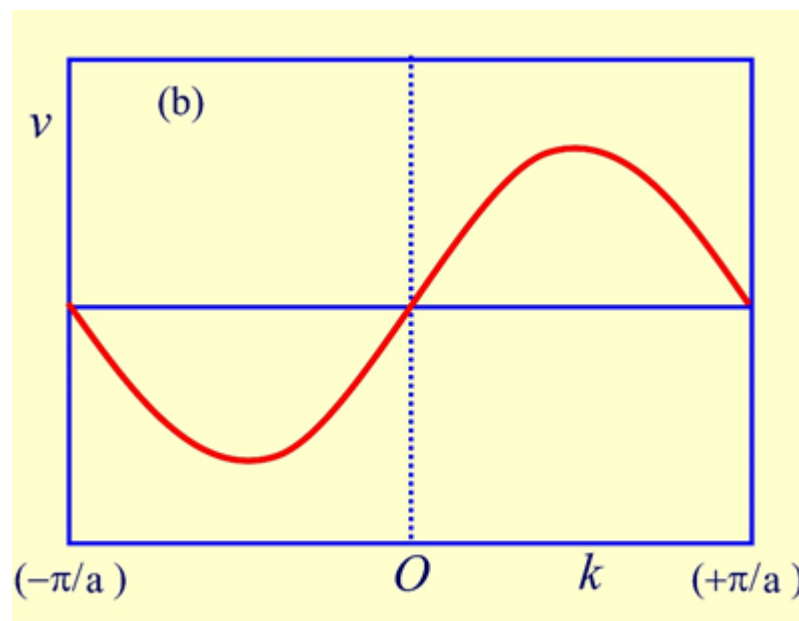
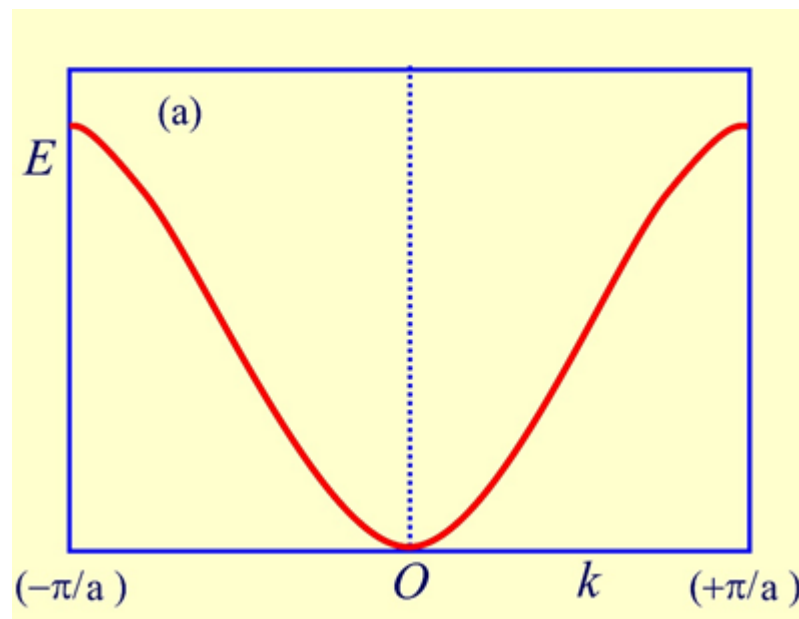
电子的速度  $v_k = \frac{2J_1 a}{\hbar} \sin ka$

$$\frac{dE}{dk} = 0 \quad k = 0, \frac{\pi}{a}$$

—— 速度为零

$$\frac{d^2 E}{dk^2} = 0 \quad k = \frac{\pi}{2a}$$

—— 速度最大



## 2. 在外力作用下状态的变化和准动量

外场力  $\vec{F}$  对电子做功  $\vec{F} \cdot \vec{v}_k dt$

电子能量的增量  $dE = d\vec{k} \cdot \nabla_k E$        $\vec{v}_k = \frac{1}{\hbar} \nabla_k E$

$$dE = d\vec{k} \cdot \hbar \vec{v}_k$$

根据功能原理  $\vec{F} \cdot \vec{v}_k dt = d\vec{k} \cdot \hbar \vec{v}_k = d(\hbar \vec{k}) \cdot \vec{v}_k$

$$\left[ \frac{d(\hbar \vec{k})}{dt} - \vec{F} \right] \cdot \vec{v}_k = 0$$

$\hbar \vec{k}$  具有动量的性质 —— 准动量

### 3. 加速度和有效质量

$$\left[ \frac{d(\hbar \vec{k})}{dt} - \vec{F} \right] \cdot \vec{v}_k = 0$$

电子状态变化基本公式

$$\frac{d(\hbar \vec{k})}{dt} = \vec{F} \qquad \frac{d(\hbar k_\alpha)}{dt} = F_\alpha$$

电子的速度

$$\vec{v}_k = \frac{1}{\hbar} \nabla_k E$$

电子的速度分量

$$v_\alpha = \frac{1}{\hbar} \frac{\partial E(\vec{k})}{\partial k_\alpha}$$

电子的加速度分量

$$\frac{dv_\alpha}{dt} = \frac{d}{dt} \left( \frac{1}{\hbar} \frac{\partial E(\vec{k})}{\partial k_\alpha} \right)$$

电子的加速度分量

$$\frac{dv_{\alpha}}{dt} = \frac{d}{dt} \left( \frac{1}{\hbar} \frac{\partial E(\vec{k})}{\partial k_{\alpha}} \right)$$

$$\frac{dv_{\alpha}}{dt} = \frac{1}{\hbar} \sum_{\beta} \frac{dk_{\beta}}{dt} \frac{\partial}{\partial k_{\beta}} \left( \frac{\partial E(\vec{k})}{\partial k_{\alpha}} \right)$$

将  $\frac{d(\hbar k_{\beta})}{dt} = F_{\beta}$  代入



$$\frac{dv_{\alpha}}{dt} = \frac{1}{\hbar^2} \sum_{\beta} F_{\beta} \frac{\partial^2}{\partial k_{\beta} \partial k_{\alpha}} E(\vec{k})$$



$$\frac{dv_{\alpha}}{dt} = \frac{1}{\hbar^2} \sum_{\beta} F_{\beta} \frac{\partial^2}{\partial k_{\beta} \partial k_{\alpha}} E(\vec{k})$$

加速度的分量表示

$$\begin{pmatrix} \dot{v}_x \\ \dot{v}_y \\ \dot{v}_z \end{pmatrix} = \frac{1}{\hbar^2} \begin{pmatrix} \frac{\partial^2 E}{\partial k_x^2} & \frac{\partial^2 E}{\partial k_x \partial k_y} & \frac{\partial^2 E}{\partial k_x \partial k_z} \\ \frac{\partial^2 E}{\partial k_y \partial k_x} & \frac{\partial^2 E}{\partial k_y^2} & \frac{\partial^2 E}{\partial k_y \partial k_z} \\ \frac{\partial^2 E}{\partial k_z \partial k_x} & \frac{\partial^2 E}{\partial k_z \partial k_y} & \frac{\partial^2 E}{\partial k_z^2} \end{pmatrix} \begin{pmatrix} F_x \\ F_y \\ F_z \end{pmatrix}$$

与牛顿定律  $\frac{d\vec{v}}{dt} = \frac{1}{m} \vec{F}$  比较

电子的倒有效质量

电子的倒有效质量  $\frac{1}{\hbar^2} \begin{pmatrix} \frac{\partial^2 E}{\partial k_x^2} & \frac{\partial^2 E}{\partial k_x \partial k_y} & \frac{\partial^2 E}{\partial k_x \partial k_z} \\ \frac{\partial^2 E}{\partial k_y \partial k_x} & \frac{\partial^2 E}{\partial k_y^2} & \frac{\partial^2 E}{\partial k_y \partial k_z} \\ \frac{\partial^2 E}{\partial k_z \partial k_x} & \frac{\partial^2 E}{\partial k_z \partial k_y} & \frac{\partial^2 E}{\partial k_z^2} \end{pmatrix}$

$\mathbf{k}_x, \mathbf{k}_y, \mathbf{k}_z$  选在张量主轴方向上  $\frac{1}{\hbar^2} \begin{pmatrix} \frac{\partial^2 E}{\partial k_x^2} & 0 & 0 \\ 0 & \frac{\partial^2 E}{\partial k_y^2} & 0 \\ 0 & 0 & \frac{\partial^2 E}{\partial k_z^2} \end{pmatrix}$

## 有效质量张量

$$\begin{pmatrix} m_x^* & 0 & 0 \\ 0 & m_y^* & 0 \\ 0 & 0 & m_z^* \end{pmatrix} = \begin{pmatrix} \hbar^2 / \frac{\partial^2 E}{\partial k_x^2} & 0 & 0 \\ 0 & \hbar^2 / \frac{\partial^2 E}{\partial k_y^2} & 0 \\ 0 & 0 & \hbar^2 / \frac{\partial^2 E}{\partial k_z^2} \end{pmatrix}$$

$$\begin{pmatrix} \dot{v}_x \\ \dot{v}_y \\ \dot{v}_z \end{pmatrix} = \begin{pmatrix} \frac{1}{m_x^*} & 0 & 0 \\ 0 & \frac{1}{m_y^*} & 0 \\ 0 & 0 & \frac{1}{m_z^*} \end{pmatrix} \begin{pmatrix} F_x \\ F_y \\ F_z \end{pmatrix} \longrightarrow \begin{cases} m_x^* \dot{v}_x = F_x \\ m_y^* \dot{v}_y = F_y \\ m_z^* \dot{v}_z = F_z \end{cases}$$

有效张量  $m_x^*, m_y^*, m_z^*$  是一个张量, 一般不相等

$$\begin{cases} m_x^* \dot{v}_x = F_x \\ m_y^* \dot{v}_y = F_y \\ m_z^* \dot{v}_z = F_z \end{cases} \longrightarrow \begin{cases} \dot{v}_x = F_x / m_x^* \\ \dot{v}_y = F_y / m_y^* \\ \dot{v}_z = F_z / m_z^* \end{cases}$$

—— 加速度和外力方向可以不同

## ——有效质量的特点

紧束缚近似下，简单立方格子s能带的有效质量

$$E^s(\vec{k}) = \varepsilon_i - J_0 - 2J_1(\cos k_x a + \cos k_y a + \cos k_z a)$$

$k_x, k_y, k_z$  在张量主轴方向上

可以验证

$$m_x^* = \hbar^2 / \frac{\partial^2 E}{\partial k_x^2} = \frac{\hbar^2}{2a^2 J_1 \cos k_x a}$$

$$\frac{\partial^2 E}{\partial k_\alpha \partial k_\beta} = \begin{cases} \neq 0, & \alpha = \beta \\ = 0, & \alpha \neq \beta \end{cases} \quad m_y^* = \hbar^2 / \frac{\partial^2 E}{\partial k_y^2} = \frac{\hbar^2}{2a^2 J_1 \cos k_y a}$$

$$m_z^* = \hbar^2 / \frac{\partial^2 E}{\partial k_z^2} = \frac{\hbar^2}{2a^2 J_1 \cos k_z a}$$

$$m_x^* = \hbar^2 / \frac{\partial^2 E}{\partial k_x^2} = \frac{\hbar^2}{2a^2 J_1 \cos k_x a}$$

$$m_y^* = \hbar^2 / \frac{\partial^2 E}{\partial k_y^2} = \frac{\hbar^2}{2a^2 J_1 \cos k_y a} \quad \text{—— 波矢的函数}$$

$$m_z^* = \hbar^2 / \frac{\partial^2 E}{\partial k_z^2} = \frac{\hbar^2}{2a^2 J_1 \cos k_z a}$$

能带底部  $\vec{k} = (0, 0, 0)$

$$m_x^* = m_y^* = m_z^* = \frac{\hbar^2}{2a^2 J_1} \begin{pmatrix} m_x^* & 0 & 0 \\ 0 & m_y^* & 0 \\ 0 & 0 & m_z^* \end{pmatrix} = \frac{\hbar^2}{2a^2 J_1} \begin{pmatrix} 1 & 0 & 0 \\ 0 & 1 & 0 \\ 0 & 0 & 1 \end{pmatrix}$$

能带底部  $\vec{k} = (0, 0, 0)$   $m^* = \frac{\hbar^2}{2a^2 J_1} > 0$

能带顶部  $\vec{k} = (\pm \frac{\pi}{a}, \pm \frac{\pi}{a}, \pm \frac{\pi}{a})$

有效质量  $m_x^* = m_y^* = m_z^* = -\frac{\hbar^2}{2a^2 J_1} < 0$

布里渊区侧面中心的X点  $\vec{k} = (\frac{\pi}{a}, 0, 0)$

有效质量  $m_x^* = -\frac{\hbar^2}{2a^2 J_1}, m_y^* = m_z^* = \frac{\hbar^2}{2a^2 J_1}$

$$\text{有效质量张量} \begin{pmatrix} m_x^* & 0 & 0 \\ 0 & m_y^* & 0 \\ 0 & 0 & m_z^* \end{pmatrix} = \frac{\hbar^2}{2aJ_1} \begin{pmatrix} -1 & 0 & 0 \\ 0 & 1 & 0 \\ 0 & 0 & 1 \end{pmatrix}$$

- 晶体中的共有化电子的有效质量  $m^*$  一般是一个张量
- 波矢的函数
- 一个能带底部附近，电子的有效质量总是正的，能带顶部附近，有效质量总是负的
- 一个能带的顶部有一个质量为负的电子



——有效质量为什么为负

晶体中电子运动同时受外力和晶体周期性势场力的作用

$$m^* = -\frac{\hbar^2}{2a^2 J_1} \quad J_1 = -\int \phi_i^*(\vec{\xi} - \vec{R}_s)[U(\vec{\xi}) - V(\vec{\xi})]\phi_i(\vec{\xi})d\vec{\xi} > 0$$

将周期性势场力的作用归并到晶体中电子的质量中  $m^* \neq m$

——电子通过与原子散射而交换动量

——电子从晶格获得的动量大于付出给晶格的动量  $m^* > 0$

——电子从晶格获得的动量小于付出给晶格的动量  $m^* < 0$

—— 晶体中电子的动量

$$\left[ \frac{d(\hbar \vec{k})}{dt} - \vec{F} \right] \cdot \vec{v}_k = 0$$

晶体中电子的动量形式  $\hbar \vec{k}$

—— 布洛赫波不是动量的本征态，  $\hbar \vec{k}$  不是动量算符的本征值

$\hbar \vec{k}$  赝动量 —— 准动量

—— 在处理晶体中电子的输运问题，引入电子的有效质量和赝动量对于处理问题会带来很大方便

## § 5.2 恒定电场作用下电子的运动

—— 一维紧束缚近似下，电子在恒定电场作用下的运动规律

电子的能量  $E^i(k) = \varepsilon_i - J_0 - 2J_1 \cos ka$

电子的速度  $v(k) = \frac{1}{\hbar} \frac{dE(k)}{dk} \quad v(k) = \frac{2J_1 a}{\hbar} \sin ka$

有效质量  $m^*(k) = \hbar^2 / \frac{d^2 E}{dk^2}$

$$m^*(k) = \hbar^2 / 2J_1 a^2 \cos ka$$